

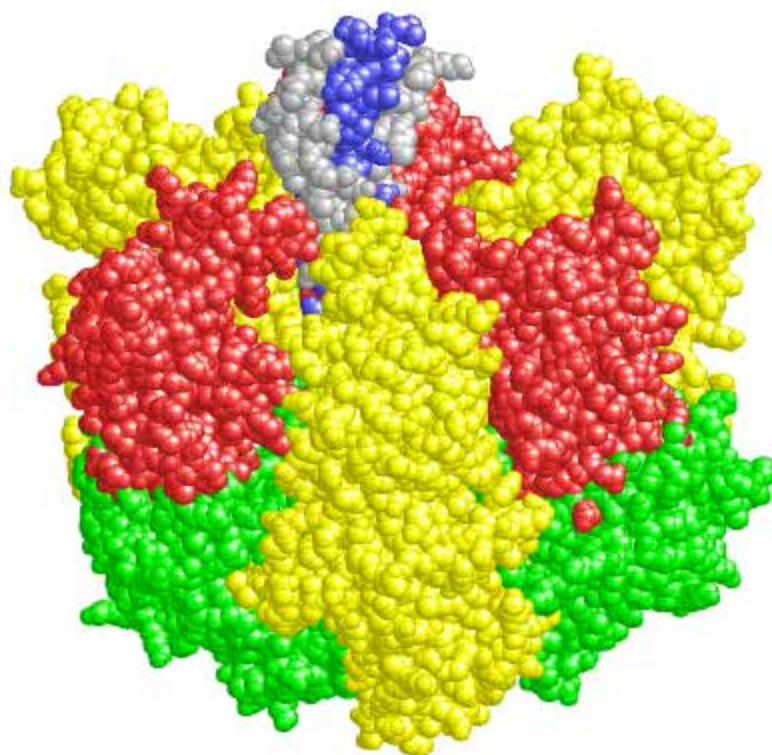
Г.Ю.Ризниченко

Колебательные процессы в биологии

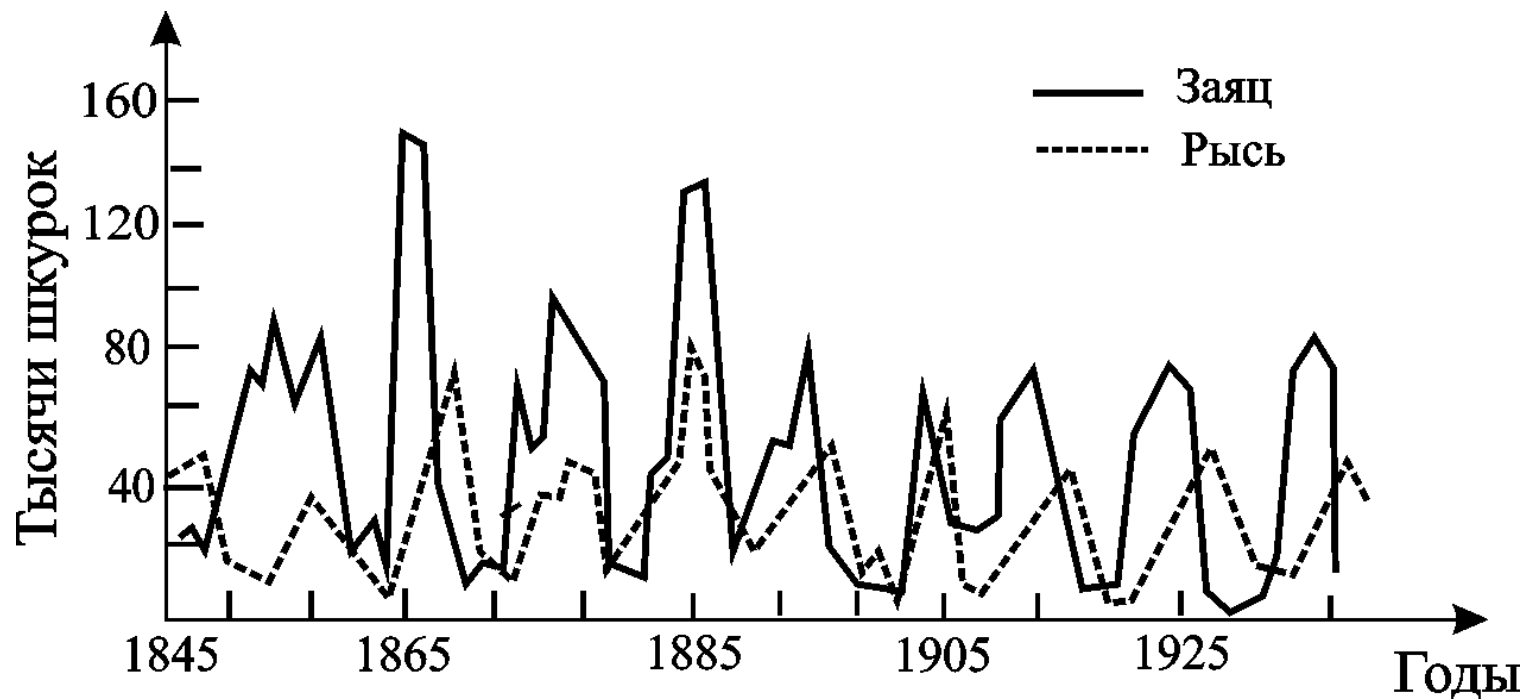
Колебательные процессы
присутствуют на всех
уровнях организации живой
материи

от макромолекул

Структура АТФ-азы



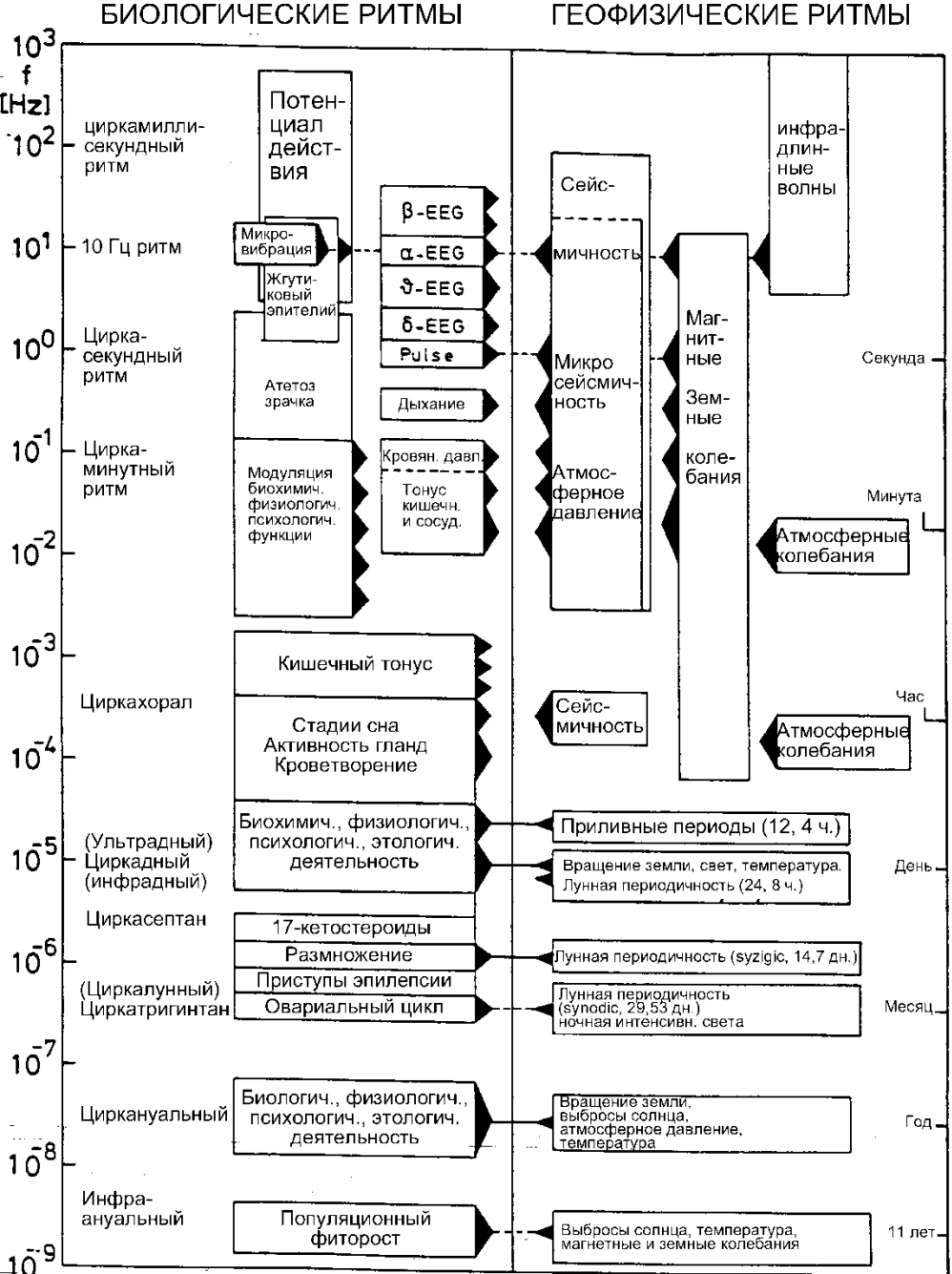
До популяций и сообществ

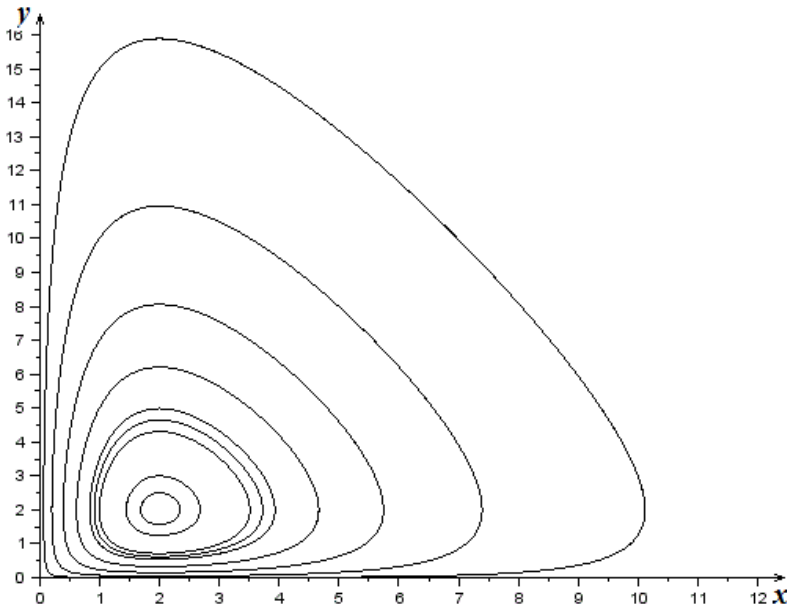


Кривые численности зайца и рыси в Канаде (по К. Вилли, В. Детье, 1974)

Биологические и геофизические ритмы

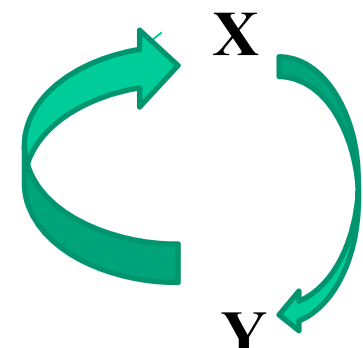
В организме
человека
более 300
суточных
ритмов





Модель Вольтерра

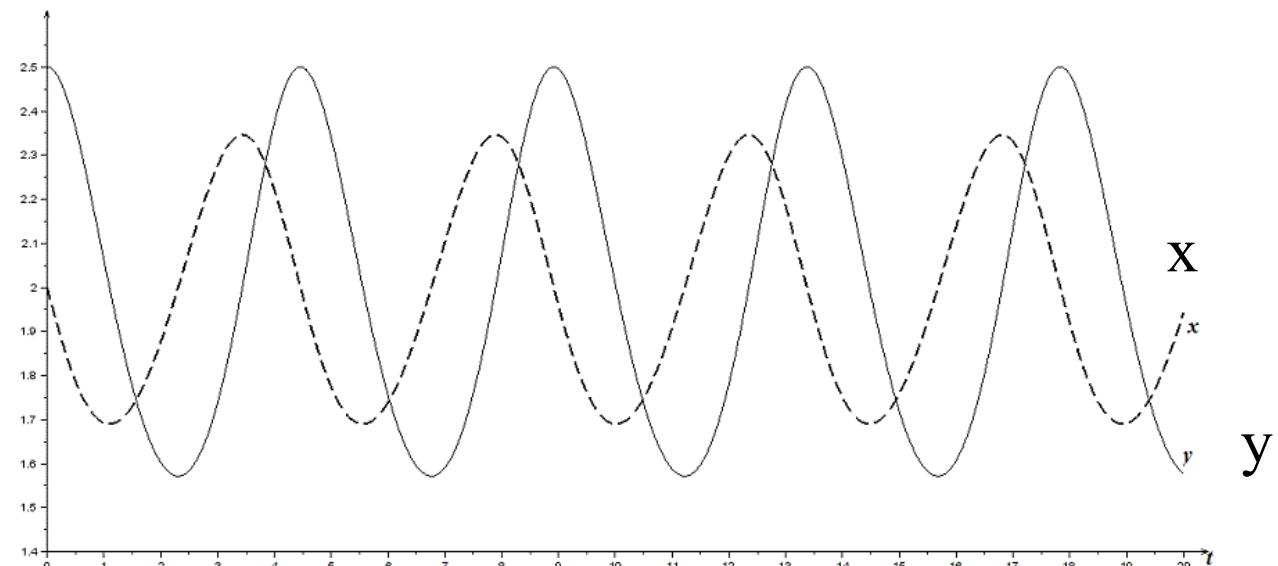
При $x - \max$, скорость
роста y $dy/dt - \max -$



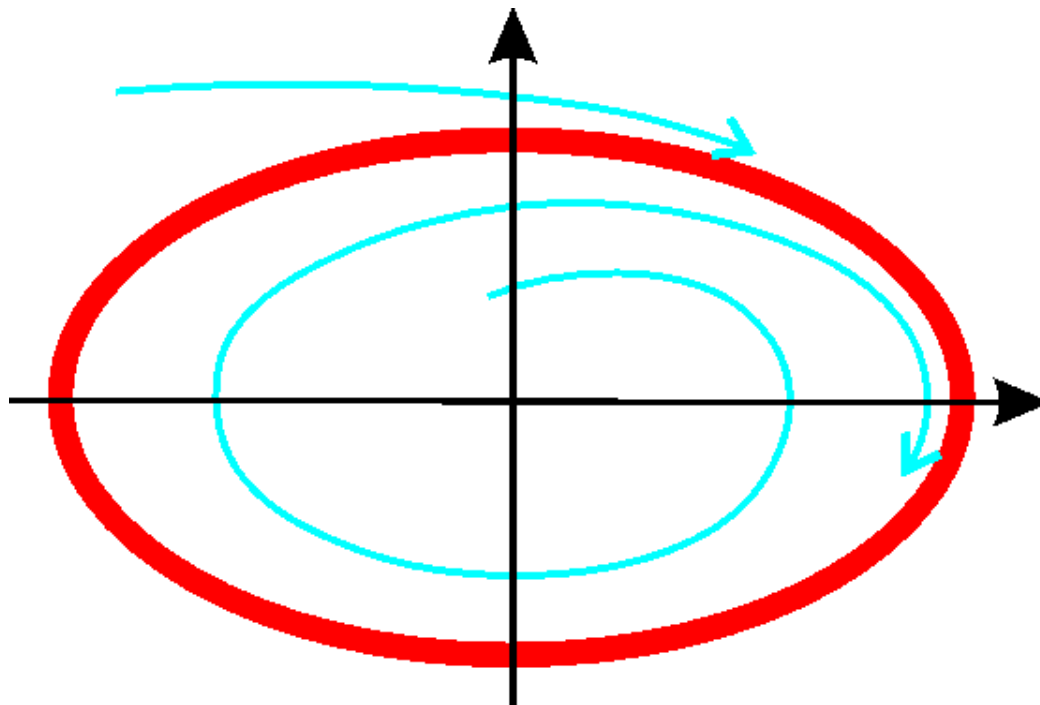
При $y - \max$ – скорость
убыли x $dx/dy - \max$

$$\begin{aligned}\frac{dx}{dt} &= ax - bxy \\ \frac{dy}{dt} &= cxy - dy\end{aligned}$$

$$\begin{aligned}a &= 1; b = 0.5; \\ c &= 1; d = 2\end{aligned}$$



Предельный цикл



На фазовой плоскости автоколебания изображаются в виде замкнутой изолированной траектории – ПРЕДЕЛЬНОГО ЦИКЛА

Пример 1

Для системы уравнений

$$\frac{dx}{dt} = y + x[1 - (x^2 + y^2)],$$

$$\frac{dy}{dt} = -x + y [1 - (x^2 + y^2)],$$

Окружность

$$x^2 + y^2 = 1$$

является предельным циклом

Пример 1

Параметрические уравнения предельного цикла

$$x = \cos(t - t_1), \quad y = \sin(t - t_1),$$

Уравнения всех других фазовых траекторий

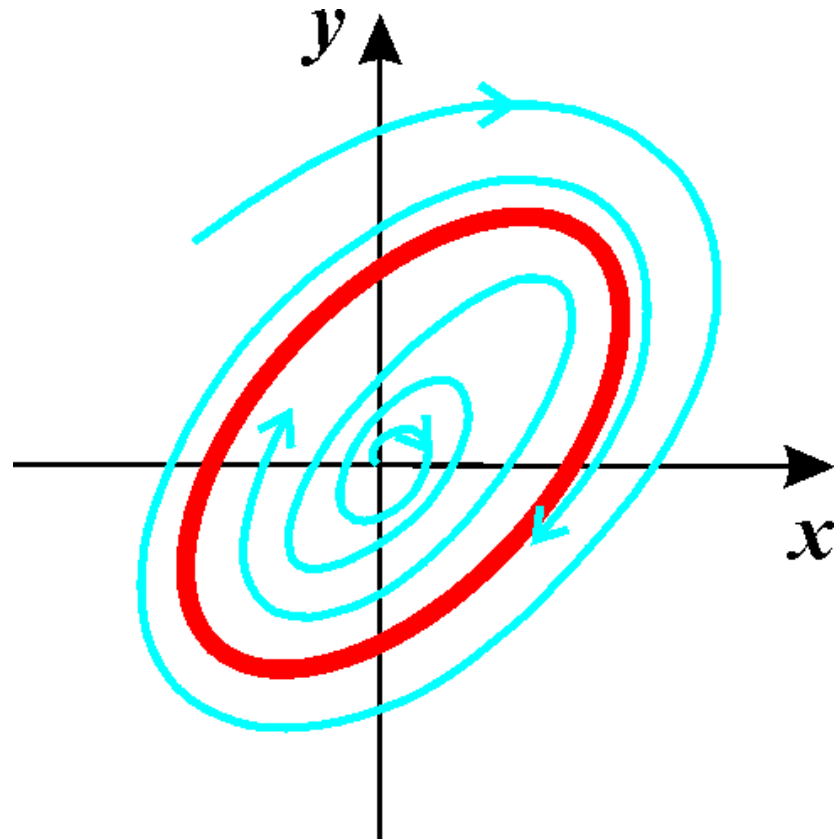
$$x = \frac{\cos(t - t_0)}{\sqrt{1 + C e^{-2(t-t_0)}}}, \quad y = \frac{\sin(t - t_0)}{\sqrt{1 + C e^{-2(t-t_0)}}}$$

При $C > 0$ фазовые траектории накручиваются на предельный цикл изнутри

При $-1 < C < 0$ фазовые траектории накручиваются на предельный цикл снаружи

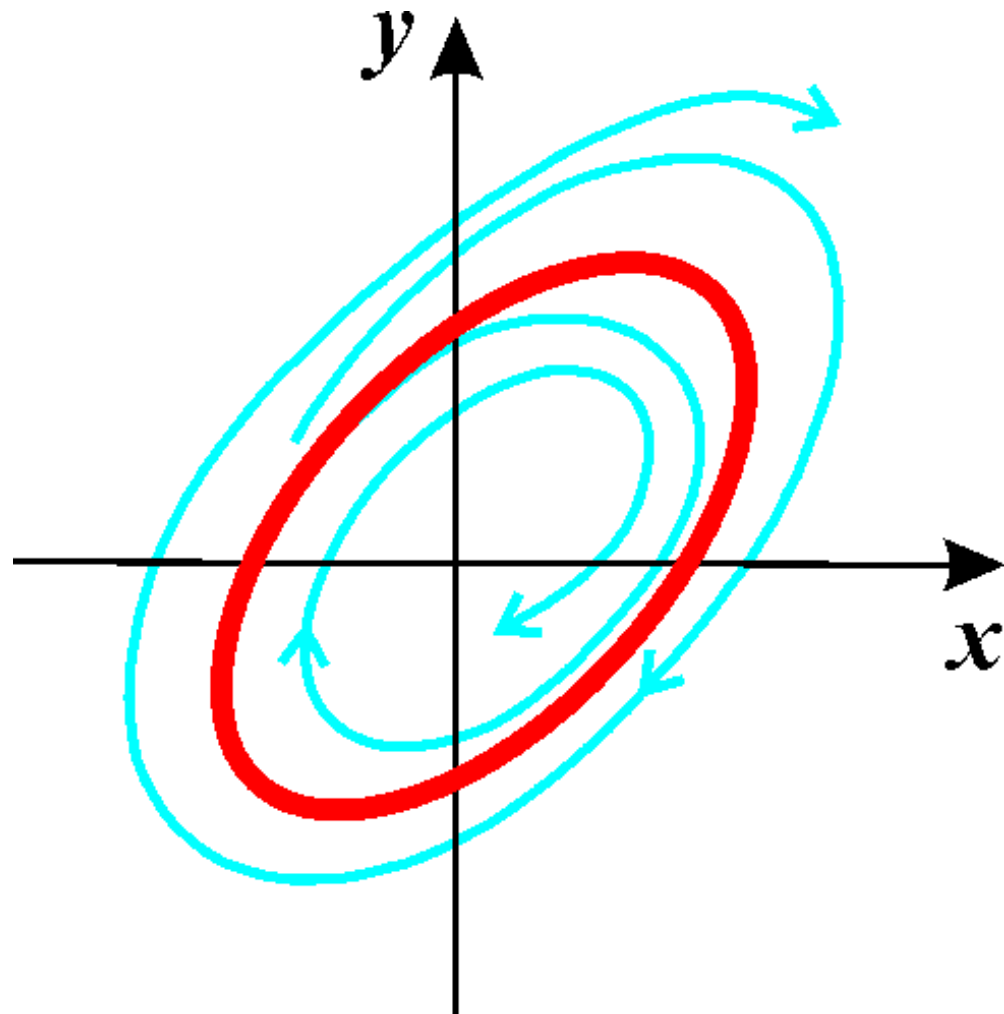
Устойчивый предельный цикл

Предельный цикл называется устойчивым, если существует такая область на фазовой плоскости, содержащая этот предельный цикл, — окрестность ε , что все фазовые траектории, начинающиеся в окрестности ε , асимптотически при $t \rightarrow \infty$ приближаются к предельному циклу.



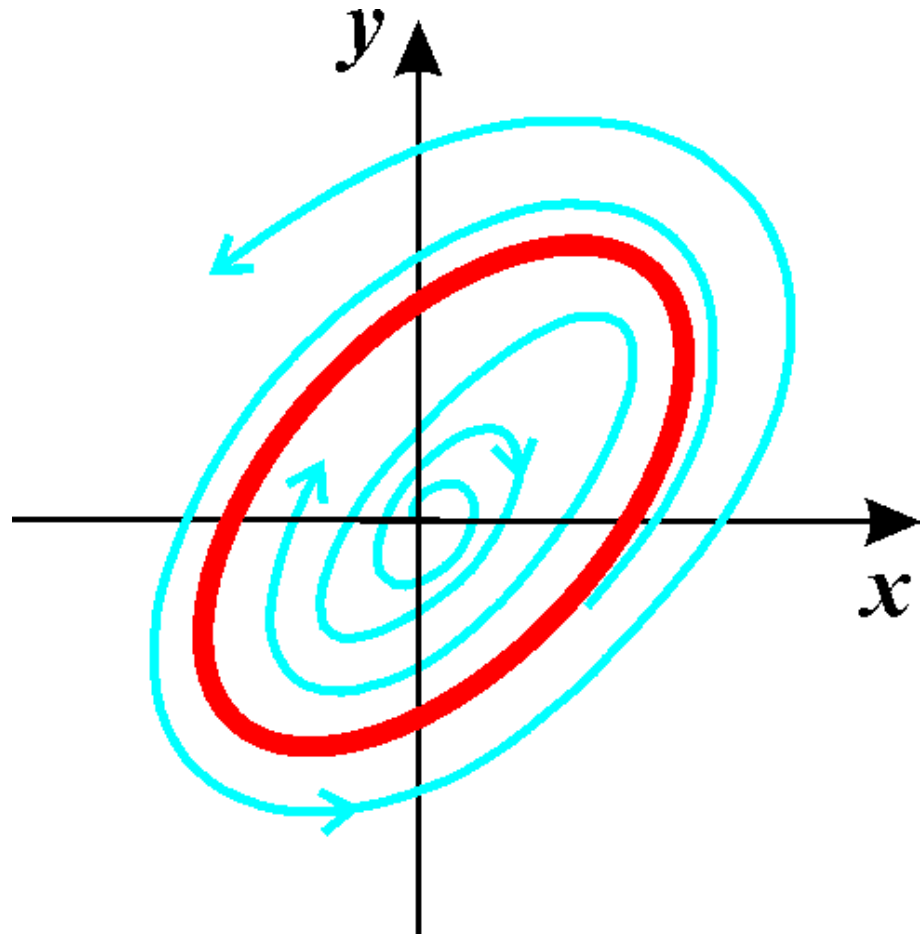
Неустойчивый предельный цикл

Если же, наоборот, в любой сколь угодно малой окрестности ε предельного цикла существует по крайней мере одна фазовая траектория, не приближающаяся к предельному циклу при $t \rightarrow \infty$, то такой предельный цикл называется неустойчивым.



Полуустойчивый предельный цикл

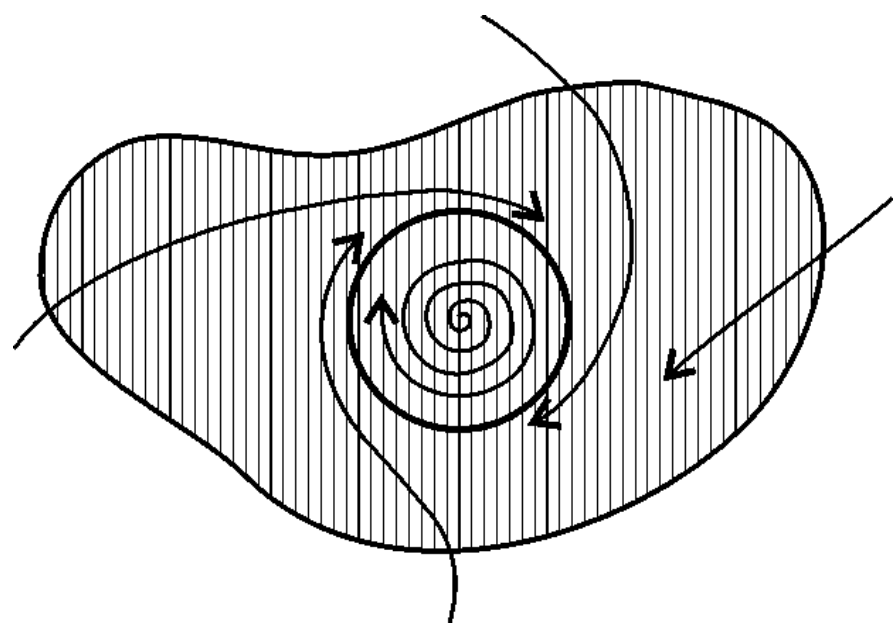
Такие циклы также называют двойными.
При некотором значении параметра они расщепляются на два, один из которых устойчив, а другой - неустойчив



Теоремы существования предельного цикла (1)

Теорема 1

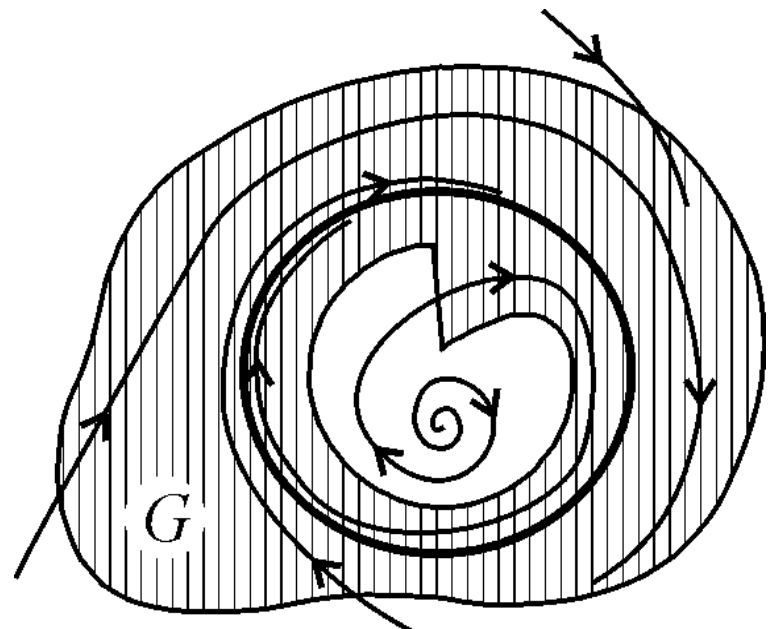
Если существует на фазовой плоскости некоторая замкнутая область, такая, что все фазовые траектории, пересекающие границу этой области, входят в нее, и внутри этой области находится неустойчивая особая точка, отличная от седла, то в этой области обязательно имеется хотя бы один предельный цикл



Теоремы существования пределного цикла (2)

Теорема 2

Пусть на фазовой плоскости существует область, из которой фазовые траектории не выходят, и в которой нет положений равновесия (особых точек). Тогда в этой области обязательно существует предельный цикл, причем все остальные траектории обязательно наматываются на него.



Критерии отсутствия замкнутых траекторий

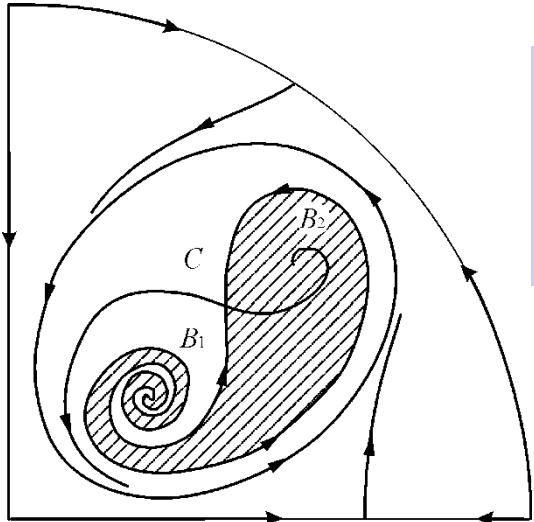
- 1. Если в системе не существует особых точек, то в ней не может быть и замкнутых фазовых траекторий.
- 2. Если в системе существует только одна особая точка, отличная от узла, фокуса и центра (например, седло), то такая система не допускает замкнутых фазовых траекторий.
- 3. Если в системе имеются только простые особые точки, причем через все точки типа узел и фокус проходят интегральные кривые, уходящие на бесконечность, то в такой системе нет замкнутых фазовых траекторий.

Устойчивость предельного цикла

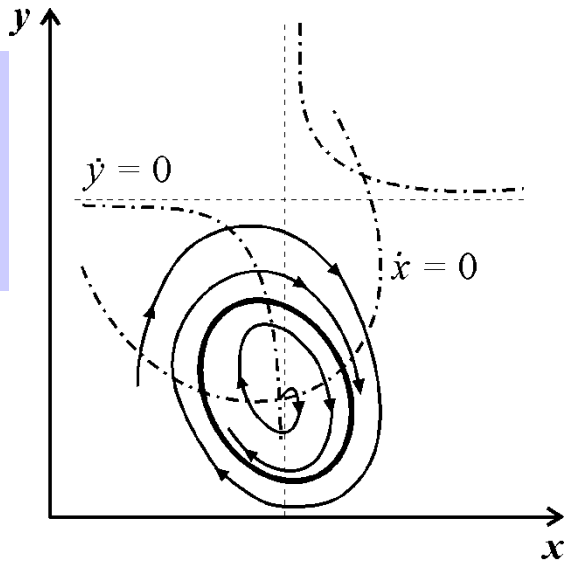
Предельный цикл устойчив, если $h < 0$ и неустойчив, если $h > 0$. Если же $h = 0$, уравнения первого приближения не решают вопроса об устойчивости периодического движения.

$$h = \frac{1}{T} \int_0^T \{P'_x[\varphi(t), \psi(t)] + Q'_y[\varphi(t), \psi(t)]\} dt,$$

$x = \varphi(t)$, $y = \psi(t)$ — любое периодическое решение, соответствующее рассматриваемому предельному циклу, T — период решения.

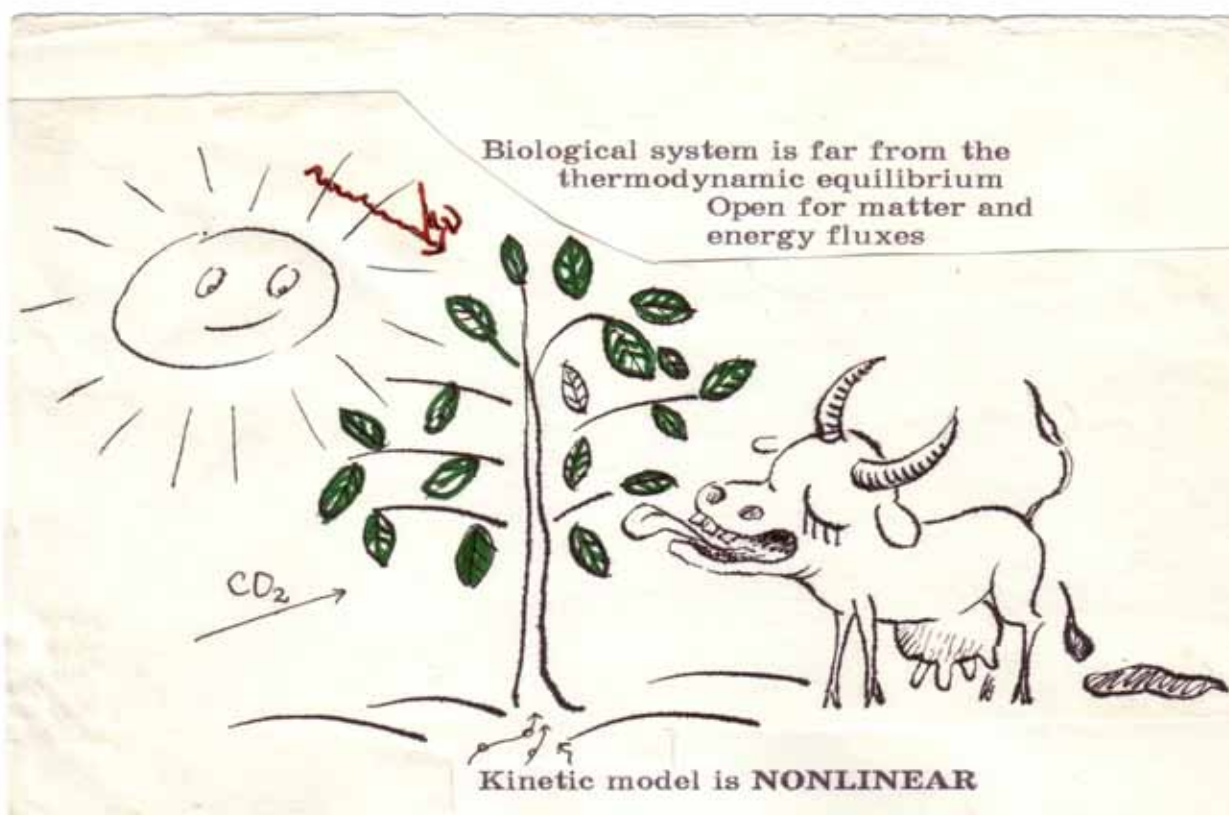


ВАЖНО



Предельные циклы возможны
лишь в системе, правые части
которой представлены
нелинейными функциями.

ТОЛЬКО В НЕЛИНЕЙНЫХ СИСТЕМАХ БЫВАЮТ



*Only in **NONLINEAR SYSTEM***

SELFORGANIZATION IN TIME:

1. selfoscillation
2. multistability
3. quasystochastic regimes in deterministic systems

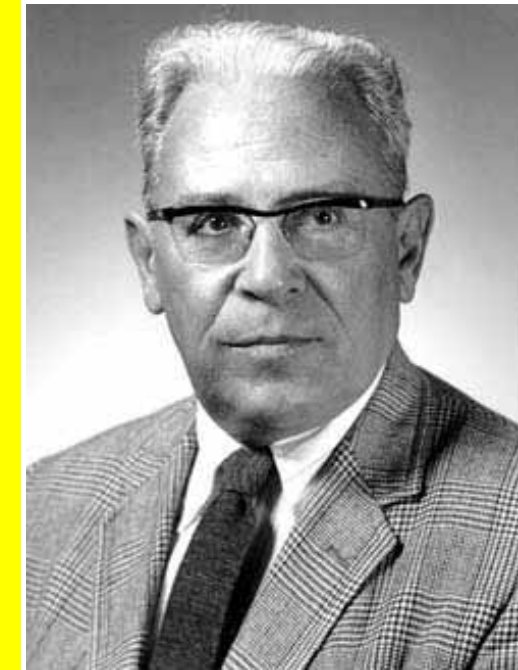
SELFORGANIZATION IN SPACE

1. autowaves
2. dissipative structures
(nonequilibrium steady distributions)
3. stochastic in space regimes



Рождение предельного цикла. Бифуркация Андронова- Хопфа

Андронов Александр
Александрович (1901-1952)



Эберхáрд Фредерíк
Фердинáнд Хópf
(1902-1983)

Бифуркация впервые была исследована А.А. Андronовым (1937) для случая $N = 2$ и обобщена Е. Хопфом (1942) на системы с произвольной размерностью. (Андронов А.А., Витт А.А., Хайкин С.Э. Теория колебаний. М., Наука, 1981)

Модельная система мягкого возбуждения автоколебаний

$$\frac{dr}{dt} = r(c - r^2),$$

r и ϕ - полярные
координаты

$$\frac{d\phi}{dt} = 2\pi.$$

При увеличении параметра c при $c = 0$ фокус теряет
устойчивость и рождается предельный цикл

Стационарные решения

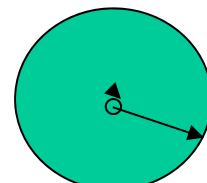
$$r(c - r^2) = 0.$$

1. $\bar{r}_1 = 0$

2,3. $c - \bar{r}^2 = 0 \quad \bar{r}_{2,3} = \pm\sqrt{c}$

Имеет реальный смысл

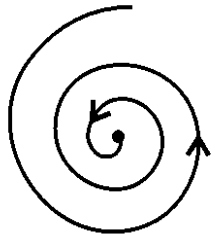
$$\bar{r}_2 = \sqrt{c}$$



Окружность радиуса с

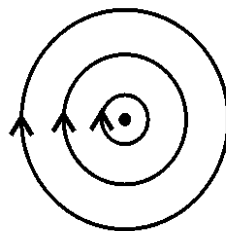
Суперкритическая бифуркация Андронова-Хопфа (мягкое возбуждение)

Устойчивый фокус



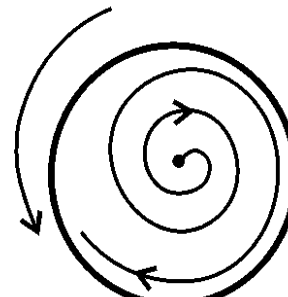
$$c < 0$$

Центр

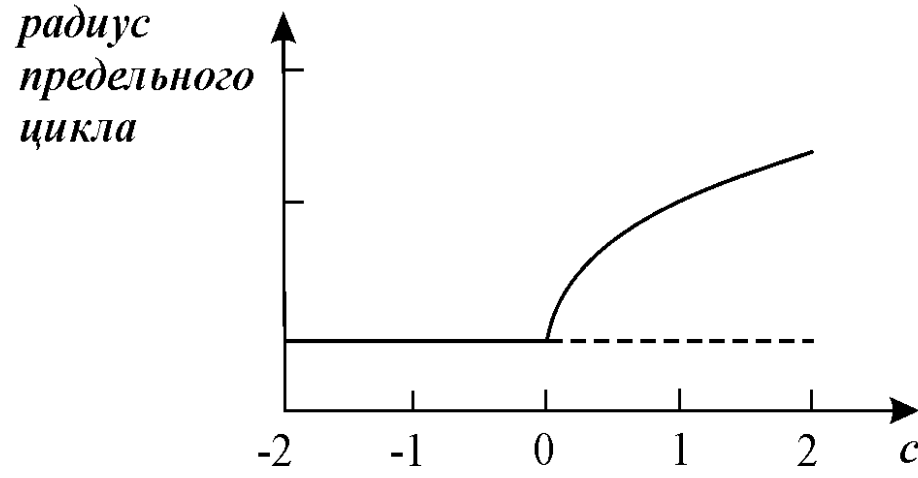


$$c = 0$$

Неустойчивый фокус +
устойчивый предельный цикл



$$c > 0$$



$$\frac{dr}{dt} = r (c - r^2),$$

$$\frac{d\phi}{dt} = 2\pi.$$

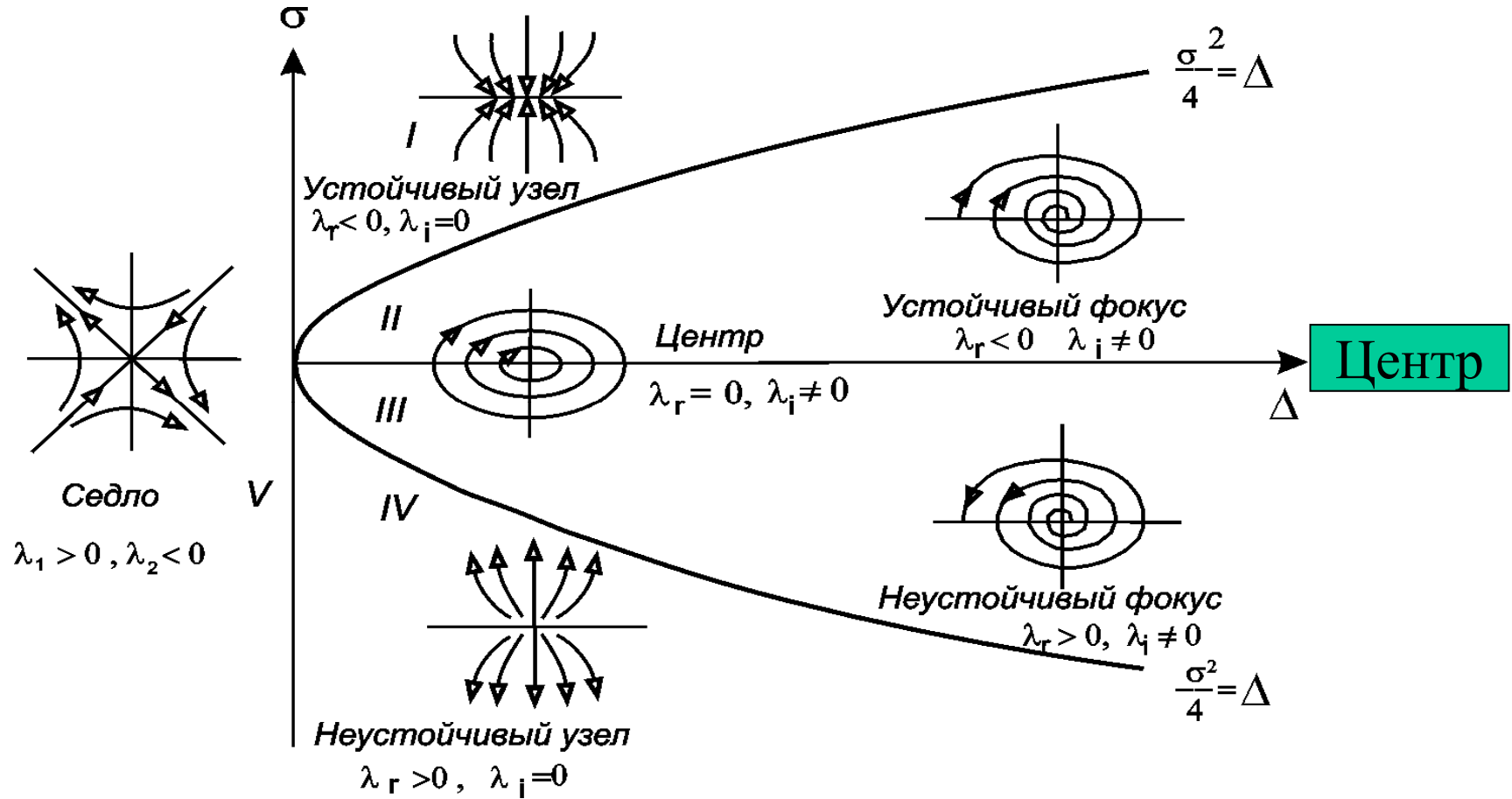
Бифуркационная диаграмма линейной системы

$$\sigma = -(a+d); \Delta = \begin{vmatrix} a & b \\ c & d \end{vmatrix}$$

$$\lambda_{1,2} = \frac{-\sigma \pm \sqrt{\sigma^2 - 4\Delta}}{2}$$

$$\frac{d\xi}{dt} = a\xi + b\eta,$$

$$\frac{d\eta}{dt} = c\xi + d\eta.$$



Модельная система жесткого возбуждения автоколебаний

$$\begin{aligned}\frac{dr}{dt} &= r\left(\frac{c}{4} + r^2 - r^4\right), & r &= 0, \\ \frac{d\phi}{dt} &= 2\pi.\end{aligned}$$
$$r^2 = \frac{1}{2} \left[1 \pm (1+c)^{1/2} \right].$$

При $c = -1$ рождается неустойчивый предельный цикл малой амплитуды и устойчивый предельный цикл конечной амплитуды

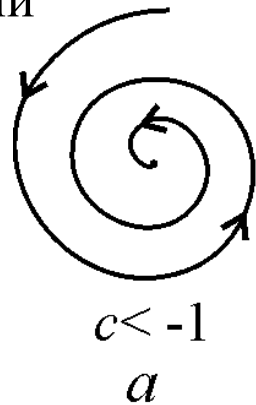
При $c > -1$ второе стационарное решение – устойчивый предельный цикл.

При $-1 < c < 0$ три стационарных решения – точка $r=0$, неустойчивый предельный цикл с амплитудой $r^2 = \frac{1}{2} \left[1 - (1+c)^{1/2} \right]$.

При $c > 0$ неустойчивый предельный цикл пропадает

Субкритическая бифуркация Андронова – Хопфа

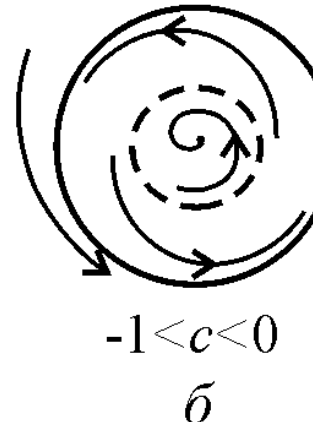
Устойчивый
фокус



$$c < -1$$

a

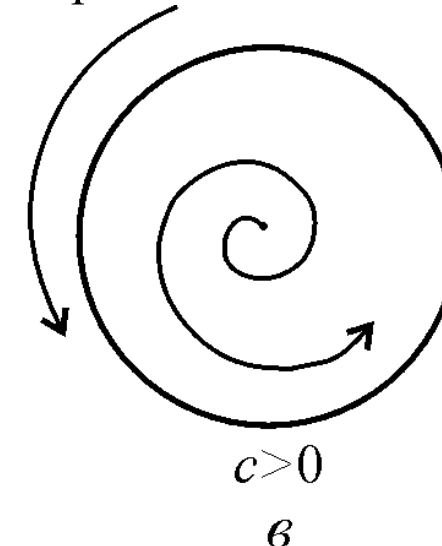
Устойчивый фокус,
неустойчивый
пределный цикл,
устойчивый
пределный цикл



$$-1 < c < 0$$

б

Неустойчивый фокус,
устойчивый
пределный цикл

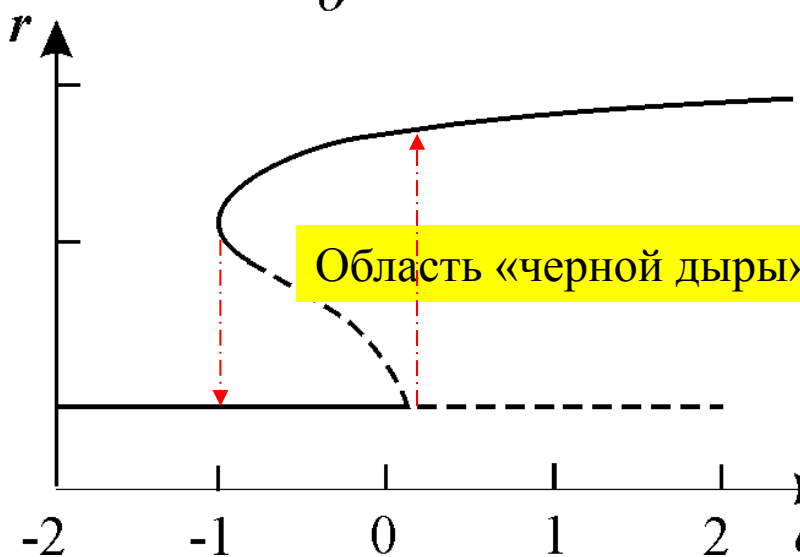


$$c > 0$$

в

$$\frac{dr}{dt} = r \left(\frac{c}{4} + r^2 - r^4 \right),$$

$$r^2 = 1 \pm (1 + c)^{1/2}.$$



Ветвь $r = 0$
устойчива при
 $c < 0$ и
неустойчива
при $c > 0$.



Брюсселятор

И. Пригожин, Р. Лефевр (1965)

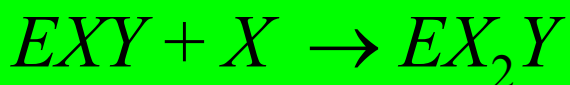
1917-2003

Простейшая реализация кубической
нелинейности в химической реакции



(тристадиолекулярная реакция)

Схема реакций Брюсселятора (тристадиолекулярная реакция)

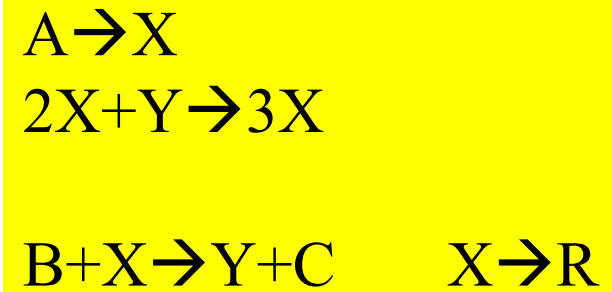


Система уравнений

Если конечные продукты C и R удаляются из реакционного пространства, а субстрат A находится в избытке, $k_{-1} = k_{-3} = k_{-4} = 0$. Пусть также $k_{-2} = 0$. Значения остальных констант положим равными единице.

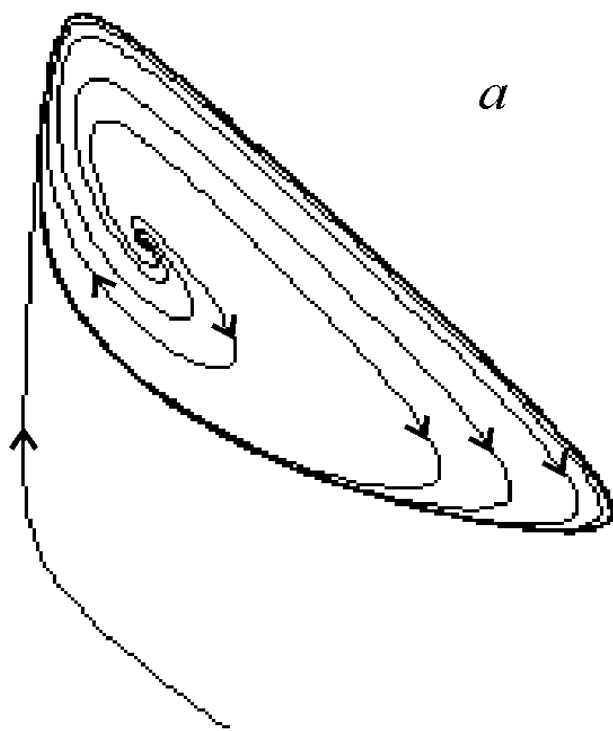
$$\frac{dx}{dt} = A + X^2 Y - (B + 1)X$$

$$\frac{dy}{dt} = BX - X^2 Y.$$

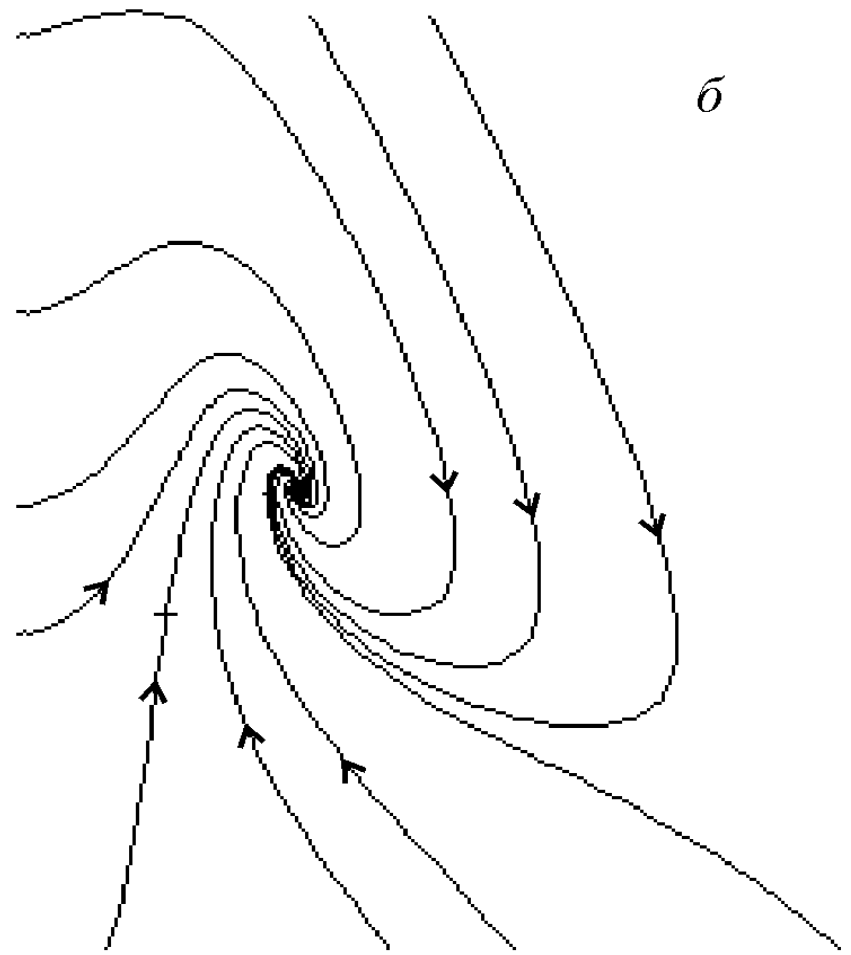


$$\bar{X} = A, \quad \bar{Y} = \frac{B}{A}.$$

Брюсселятор



a



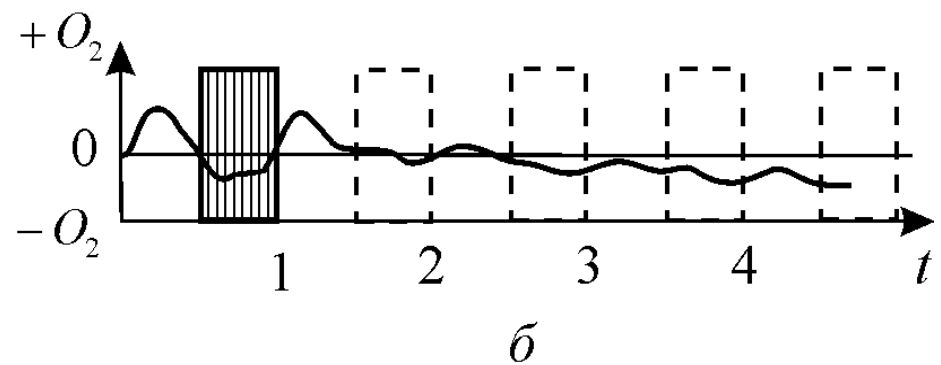
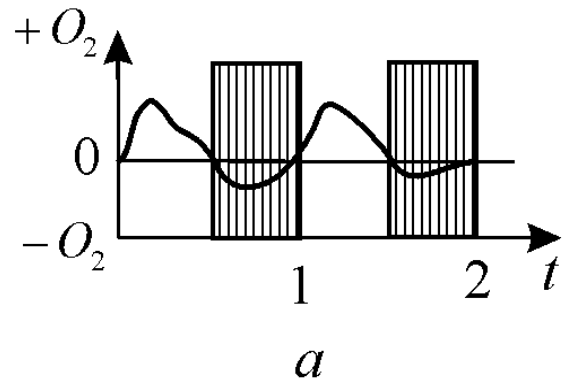
б

Фазовый портрет системы брюсселятор при $B>1+A^2$ (*а*) и $B<1+A^2$ (*б*).

Модель темновых процессов фотосинтеза

Д.С.Чернавский, Н.М.Чернавская, 1967

Л.Н.Белюстина, Г.А.Кокина, 1967



Зависимость поглощения кислорода и выделения углекислоты зеленым листом от времени. *а* - при периодическом освещении; *б* - при непрерывном освещении

Упрощенная схема цикла Кальвина



Система уравнений для концентраций легких c_3 и тяжелых c_6 сахаров

Предполагалось, что прибыль тяжелых сахаров c_6 может осуществляться за счет соединения двух легких c_3 . Их убыль, так же как и убыль тяжелых сахаров, происходит в результате бимолекулярного взаимодействия тяжелых и легких сахаров. Имеется приток продукта c_3 в сферу реакции.

$$\frac{dc_3}{dt} = \alpha_1 c_3^2 - \alpha_2 c_3 c_6$$

$$\frac{dc_6}{dt} = \beta_1 c_3^2 - \beta_2 c_3 c_6 - \beta_3 c_6^2$$

Система уравнений темновых процессов фотосинтеза в безразмерных переменных

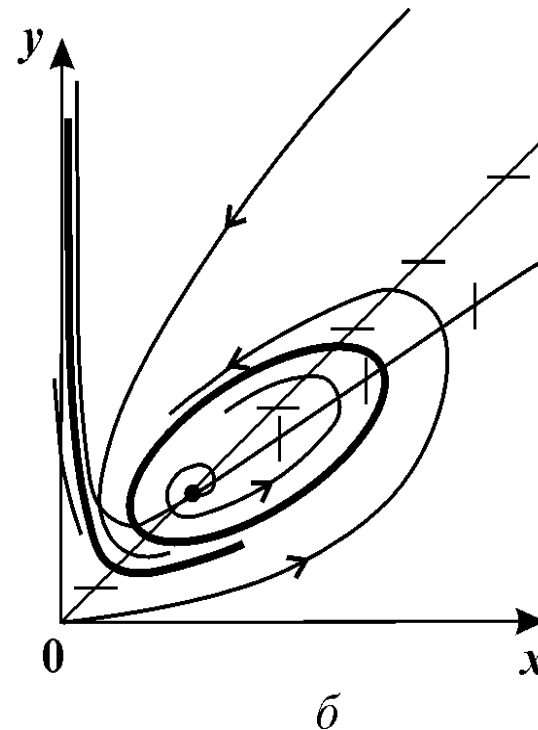
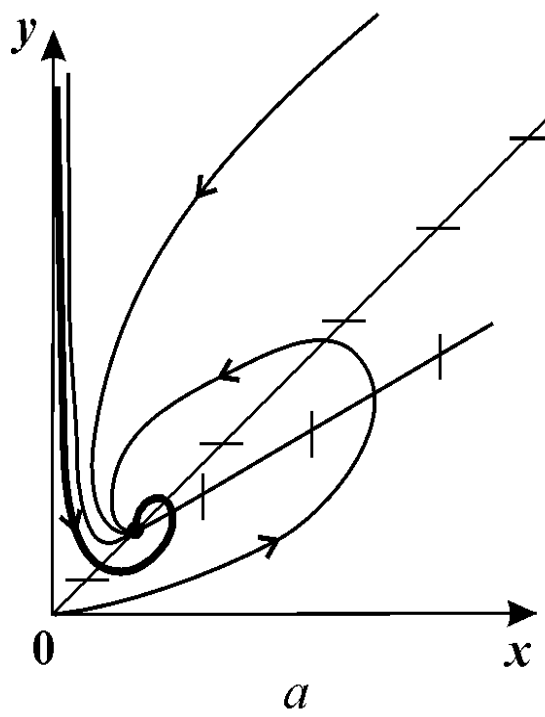
Легкие
сахара c_3

$$\frac{dx}{dt} = x^2 - (1 - \gamma)xy + \gamma$$

Тяжелые
сахара c_6

$$\frac{dy}{dt} = \frac{1}{7}\varepsilon(7x^2 - y^2 - 6xy)$$

Фазовые портреты для колебаний в цикле Кальвина

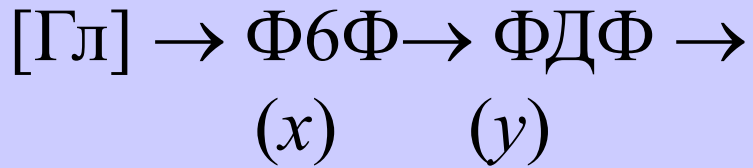


$$\varepsilon < \frac{7}{8}(1 - \gamma)$$

$$\varepsilon > \frac{7}{8}(1 - \gamma)$$

Колебания в гликолизе

Активация
↓



$$\frac{dx}{dt} = k - \chi \frac{x}{(K_{mx} + x)} \frac{y}{(K_{my} + y)}$$

$$\frac{dy}{dt} = \chi \frac{x}{(K_{mx} + x)} \frac{y}{(K_{my} + y)} - q \frac{y}{(K'_{my} + y)}$$

Уравнения гликолиза

$$\frac{dx}{dt} = k - \chi \frac{x}{(K_{mx} + x)} \frac{y}{(K_{my} + y)}$$

$$\frac{dy}{dt} = \chi \frac{x}{(K_{mx} + x)} \frac{y}{(K_{my} + y)} - q \frac{y}{(K'_{my} + y)}$$

Замена переменных:

$$t' = \frac{t\chi k K'_{my}}{K_{mx} K_{my} (q - k)}, \quad x' = \frac{x\chi K'_{my}}{K_{mz} K_{my} (q - k)}, \quad y' = y \frac{q - k}{k K'_{my}}.$$

Безразмерные уравнения гликолиза

$$\frac{dx}{dt} = 1 - xy,$$

$$\frac{dy}{dt} = \alpha y \left(x - \frac{1+r}{1+ry} \right),$$

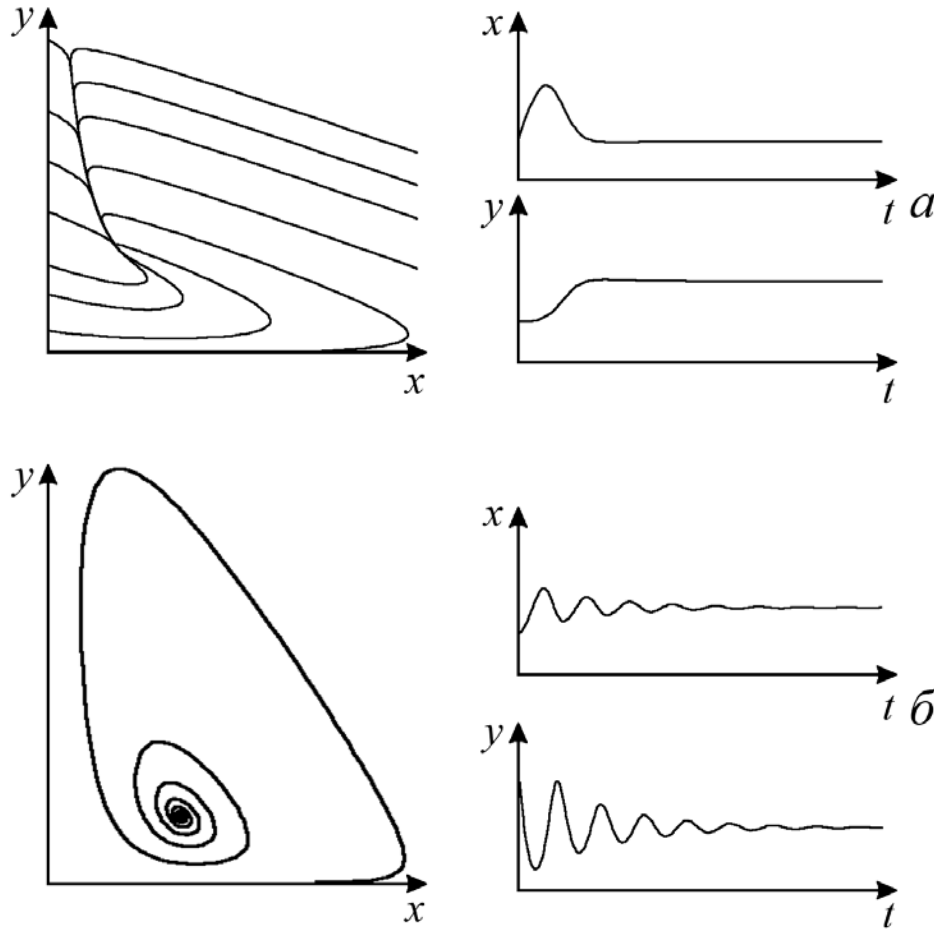
Ф6Ф

ФДФ

$$\alpha = \frac{(q-k)^2 K_{mz} K_{my}}{(K'_{my})^2 k \chi}, \quad r = \frac{k}{q+k}.$$

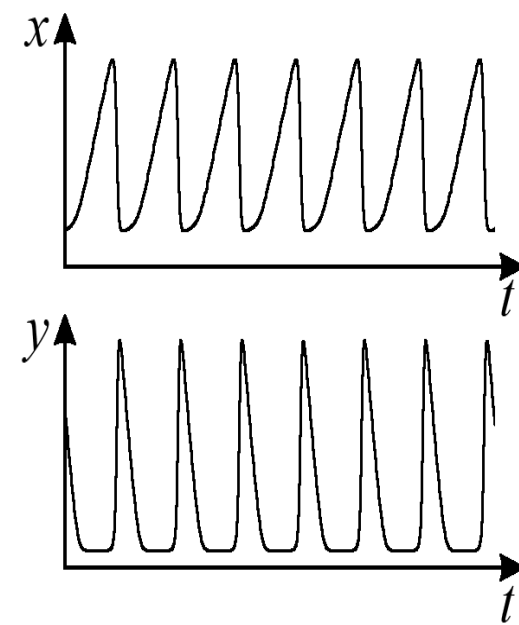
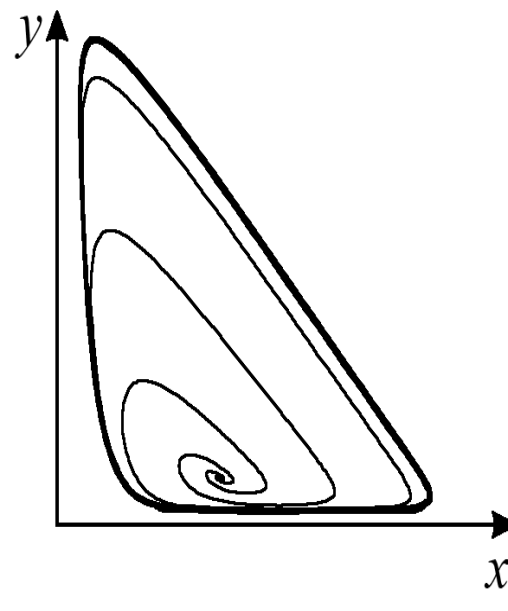
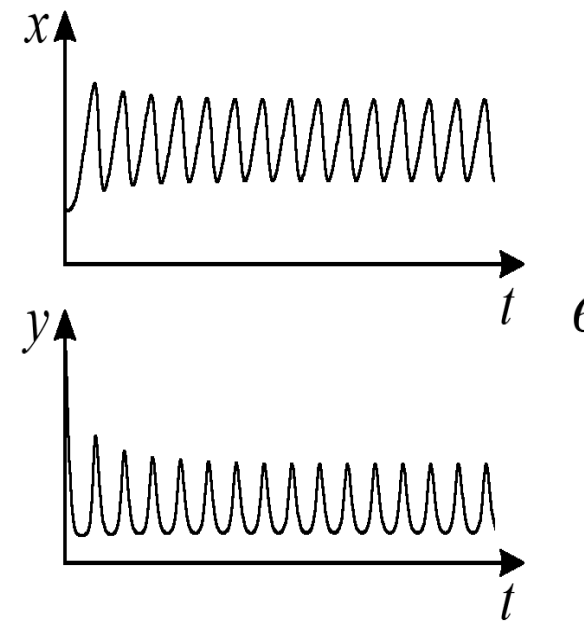
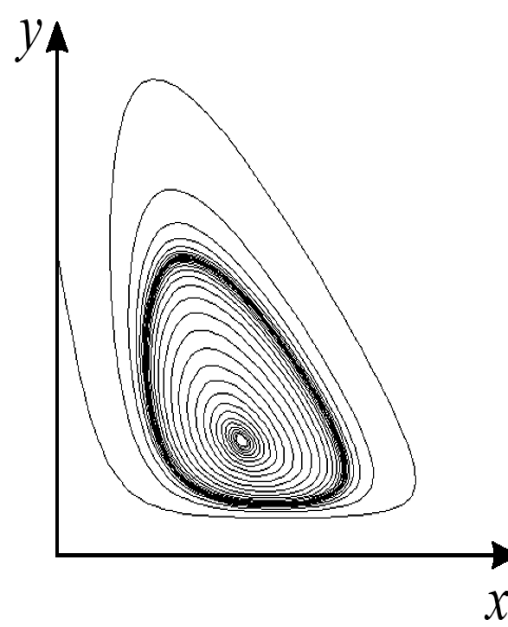
Фазовые портреты и кинетика

Устойчивые узел и фокус



Модель гликолиза (8.10).
Кинетика изменений
концентраций
фруктозо-6-fosфата (x) и
фруктозодифосфата (y)
(справа) и фазовый портрет
системы (слева) при разных
значениях параметров
системы, a –
бесколебательный процесс
(узел на фазовой плоскости),
 $\alpha = 0.25; r = 1$. β – затухающие
колебания (устойчивый фокус
на фазовой плоскости),
 $\alpha = 0.25; r = 0.2$.

Предельные циклы в гликолизе



w – колебания с постоянной амплитудой и фазой (предельный цикл на фазовой плоскости),
 $\alpha = 6; r = 0.24$. z – релаксационные колебания с постоянной амплитудой и фазой (предельный цикл почти треугольной формы на фазовой плоскости),
 $\alpha = 8; r = 0.5$.

Внутриклеточные колебания кальция

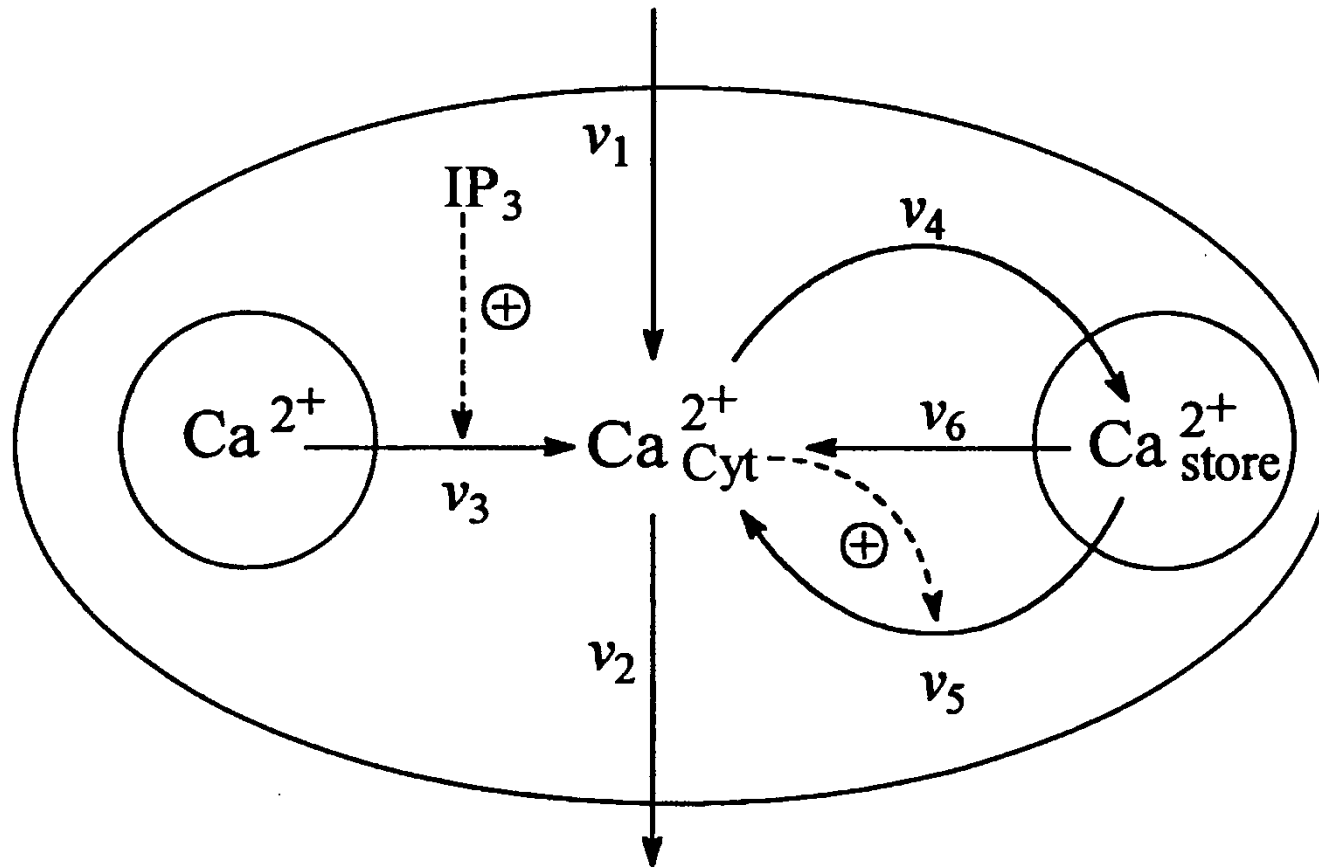
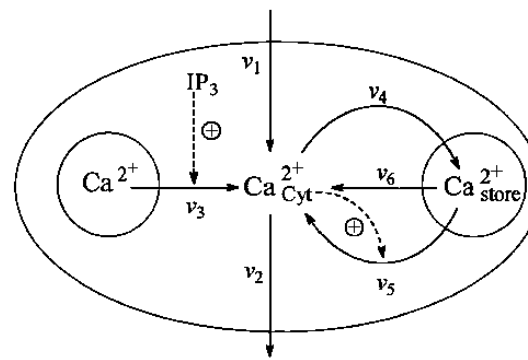


Схема процессов, приводящих к внутриклеточным колебаниям кальция (Dupont, Goldbeter, 1983).
 IP_3 - рецептор, стимулирующий колебания

Система уравнений для колебаний кальция



[Dupont and Goldbetter (1989, 1994)]. Рассматриваются приток и отток кальция в клетку через плазматическую мембрану (константы скоростей v_1 и v_2 , соответственно); гормонально активируемое освобождение кальция из пула (скорость v_3); активный транспорт цитозольного кальция в пул, (v_4), освобождение кальция из пула, активируемое цитозольным кальцием (v_5); свободный отток кальция из пула в цитозоль (v_6). Модель состоит из двух дифференциальных уравнений

S_1 – концентрация Са в цитозоле; S_2 – в гармонично чувствительном пуле

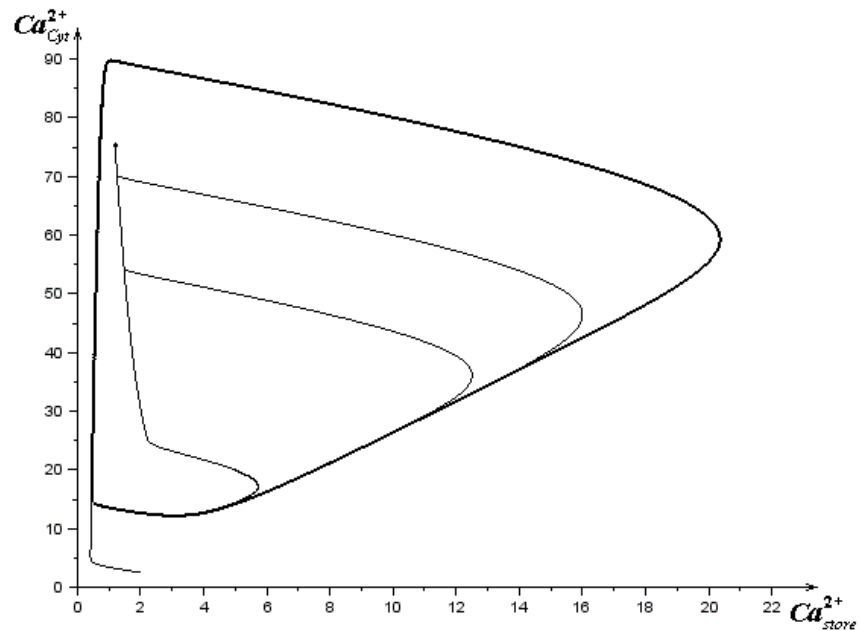
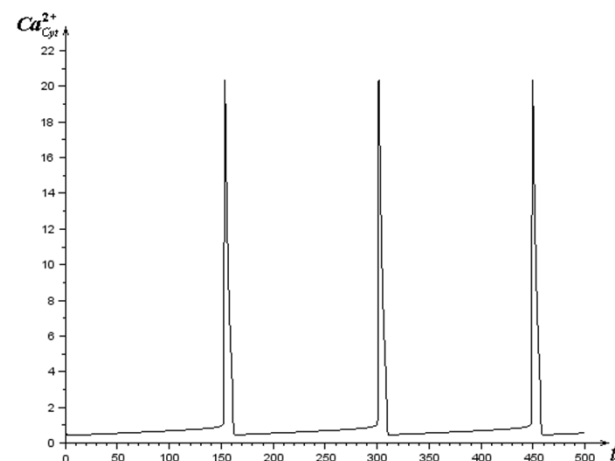
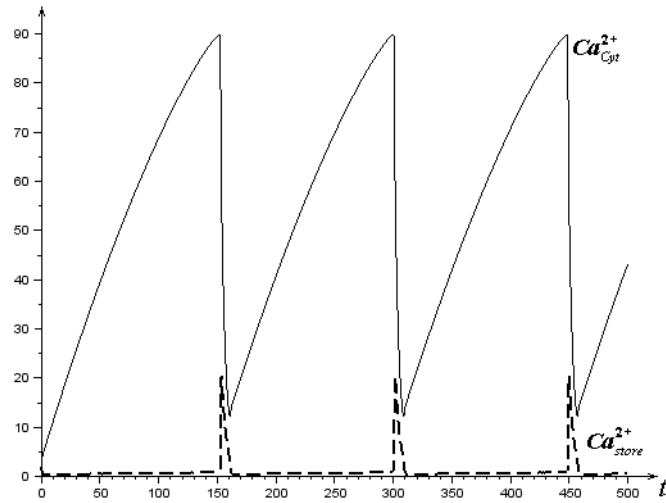
Выражения для скоростей:

$$\frac{dS_1}{dt} = v_1 - v_2 + v_3 - v_4 + v_5 + v_6 \quad v_2 = k_2 S_1; v_4 = k_4 S_1;$$

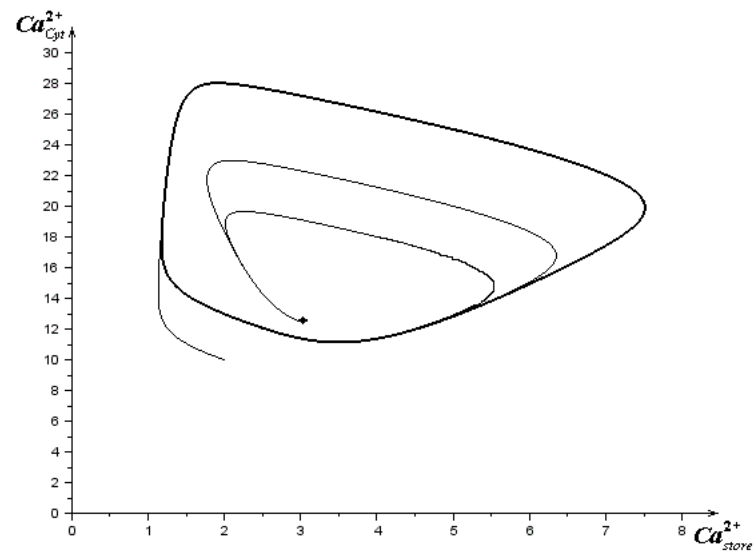
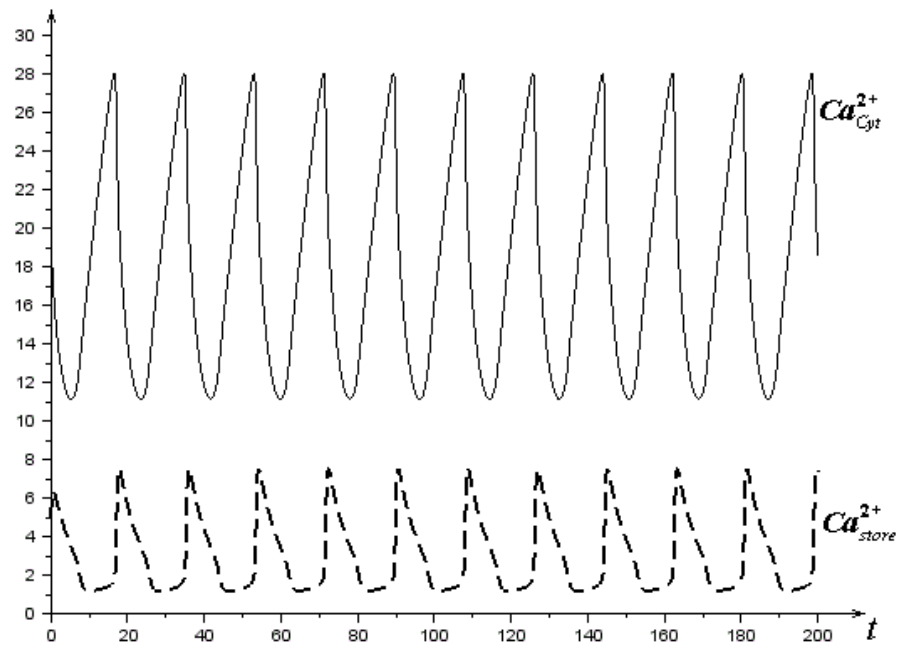
$$\frac{dS_2}{dt} = v_4 - v_5 - v_6 \quad v_5 = \frac{k_5 S_2 S_1^{nH}}{K_{0..5}^{nH} + S_1^{nH}}; v_6 = k_6 S_2$$

Kinetics the oscillations of Ca^{2+} in cytosol and in the store according to the model. Values of parameters: ; $k_2 = 1$; $k_4 = 2$; $k_5 = 1$; $k_6 = 0.01$; $nH = 4$; $K_{0.5} = 3.1$

Приток Ca $v_0 = 1.2$



При большей скорости притока колебания приближаются к гармоническим



$$\nu_0 = 3$$

Вопросы

- Приведите примеры колебательных процессов в живых системах
- Какие колебательные процессы присутствуют в системе, которую Вы изучаете (хотели бы изучать). Какие у них характерные период и амплитуда?